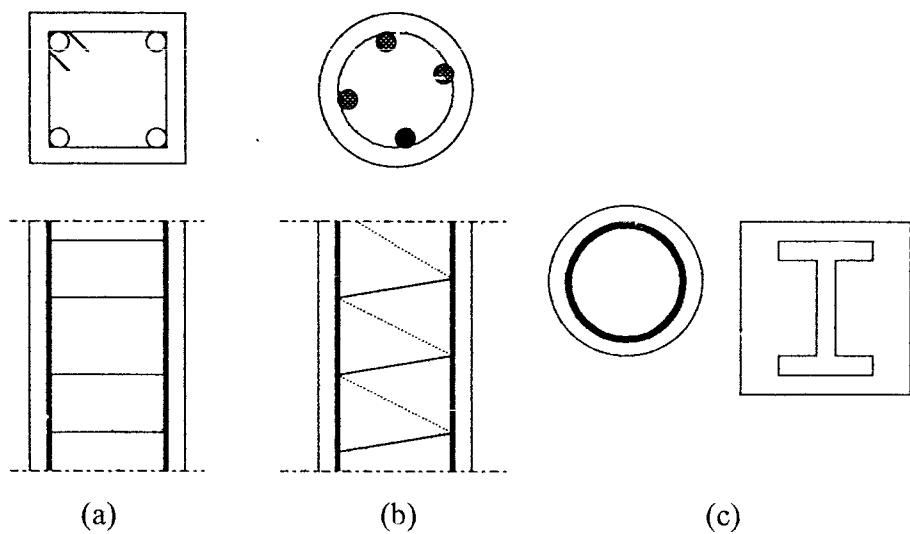


Gambar 3.20	Panel pertemuan balok dan kolom portal dalam kondisi terjadinya sendi-sendi plastis pada kedua ujung balok...	42
Gambar 4.1	Denah gedung.....	50
Gambar 4.2	Portal as A, B, dan C	51
Gambar 4.3	Portai as I s/d as VII	51
Gambar 4.4	Pembagian beban merata pada portal B	71
Gambar 4.5	Perhitungan beban merata ekivalen portal B	71
Gambar 4.6	Beban mati ekivalen portal B	73
Gambar 4.7	Beban hidup ekivalen portal B	74
Gambar 4.8	Pembagian beban merata pada portal C	74
Gambar 4.9	Perhitungan beban merata ekivalen portal C	75
Gambar 4.10	Beban mati ekivalen portal C	77
Gambar 4.11	Beban hidup ekivalen portal C	77
Gambar 4.12	Pembagian beban merata pada portal I	78
Gambar 5.13	Perhitungan beban merata ekivalen portal I	78
Gambar 4.14	Beban mati ekivalen portal I	81
Gambar 4.15	Beban hidup ekivalen portal I	82
Gambar 4.16	Pembagian beban merata pada portal II	82
Gambar 4.17	Perhitungan beban merata ekivalen portal II	83
Gambar 4.18	Beban mati ekivalen portal II	86
Gambar 4.19	Beban hidup ekivalen portal II	86
Gambar 5.1	Daerah sendi plastis dan non plastis pada penulangan geser balok	94

Adapun klasifikasi kolom menurut Nawy (1990) adalah sebagai berikut ini.

1. Berdasarkan bentuk dan susunan tulangan
 - a. Kolom segiempat atau bujursangkar, dengan tulangan memanjang dan tulangan sengkang.
 - b. Kolom bundar, dengan tulangan memanjang serta tulangan lateral yang berupa spiral.
 - c. Kolom komposit, yang terdiri atas beton dan profil baja struktural di dalamnya.



Gambar 3.3

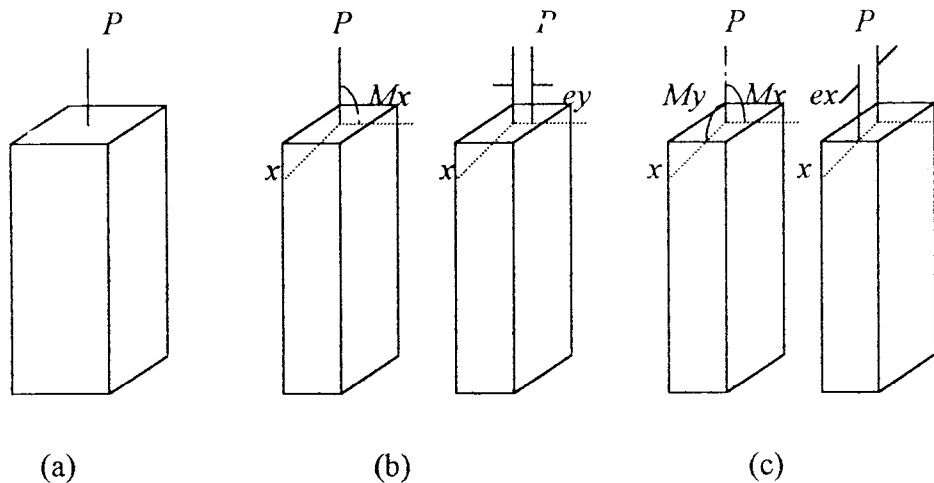
Jenis kolom berdasarkan bentuk dan susunan tulang (Wang, 1986)
(disadur dari Istimawan, 1994)

2. Berdasarkan posisi beban yang bekerja terhadap penampang melintang
 - a. Kolom yang mengalami beban sentris, berarti tidak mengalami momen lentur seperti pada Gambar 3.4 (a).

- b. Kolom dengan beban eksentris, yaitu selain mengalami beban aksial juga bekerja momen lentur. Momen ini dapat dikonversikan menjadi satu beban P dengan eksentrisitas e seperti pada Gambar 3.4 (b) dan (c). Momen lentur tersebut dapat bersumbu tunggal (uniaksial) dan dapat dilihat kolom A dan B pada Gambar 3.5 (a). Kolom dianggap bersumbu rangkap (biaksial) apabila lenturnya terjadi pada sumbu X dan Y seperti kolom pojok C pada Gambar 3.5 (b).

3. Berdasarkan panjang kolom

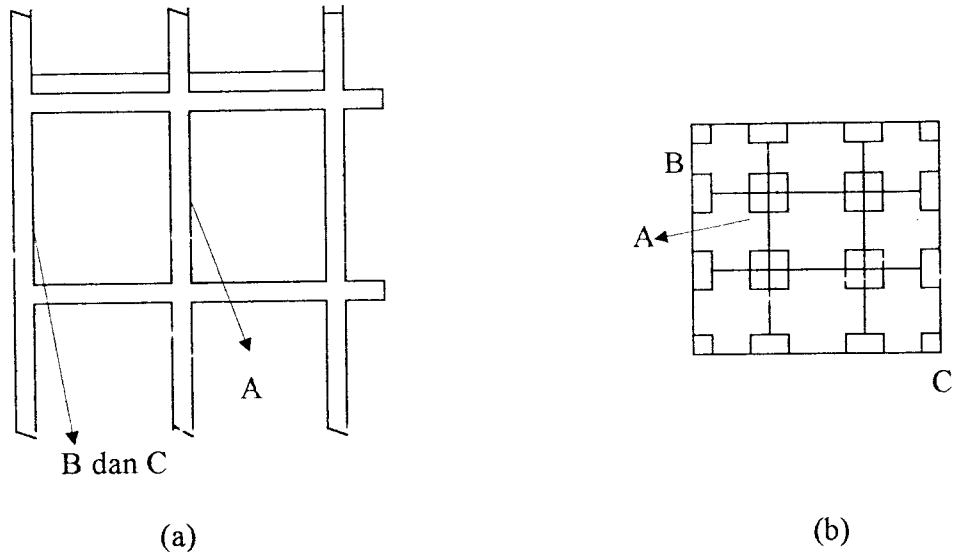
- Kolom pendek, apabila kolom runtuh karena kegagalan materialnya (yaitu lelehnya baja atau hancurnya beton).
- Kolom panjang, apabila kolom runtuh karena adanya faktor tekuk yang lebih besar.



Gambar 3.4

Jenis kolom berdasarkan posisi beban pada penampang melintang:

- kolom dengan beban sentris; (b) beban aksial dengan momen satu sumbu (uniaksial); (c) beban aksial dengan momen dua sumbu (biaksial)
- (disadur dari Ferguson ,1986)



Gambar 3.5

Posisi kolom : (a) tampak rangka, (b) denah : A, kolom interior yang mengalami lentur uniaksial tidak simetris; B, kolom eksterior lentur uniaksial; C, kolom pojok eksterior lentur biaksial (Nawy, 1990)

3.2 Perancangan Struktur Dengan Daktilitas Penuh

Penampilan (*performance*) struktur dengan beban gempa rancang dibagi dalam dua kriteria yaitu “*damage control*” dan “*survival*”.

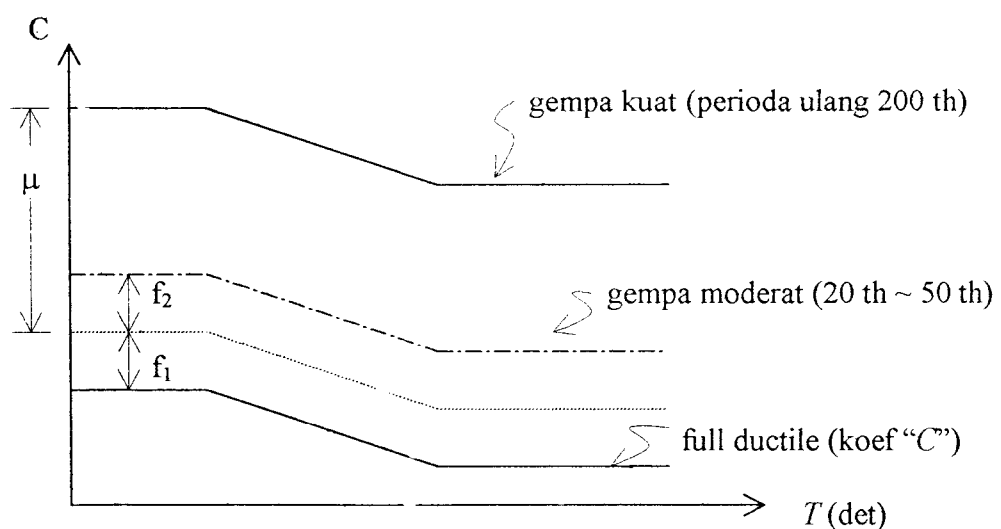
3.2.1 Kriteria “*damage control*” (*Strength Design*)

Apabila struktur dilanda gempa dengan perioda ulang sesuai dengan umur rencana bangunan (gempa ringan), maka struktur dirancang untuk mampu menahan gempa ringan tersebut tanpa kerusakan pada komponen struktural dan non strukturalnya karena struktur masih dalam batas elastisnya. Kemampuan

struktur dalam batas elastik sebanding dengan nilai koefisien gempa dasar (C) dapat dilihat pada gambar 3.6.

3.2.2 Kriteria “survival” (*Capacity Design*)

Bila gempa kuat rancang yang mungkin terjadi pada umur bangunan yang direncanakan membebani struktur, struktur dirancang untuk dapat bertahan dengan tingkat kerusakan yang besar tanpa runtuh (*collapse*). Gempa kuat rancang dalam PPTGIUG'83 direncanakan untuk gempa dengan perioda ulang 200 tahun, sedangkan umur bangunan yang ditinjau kurang lebih 20 tahun sampai dengan 50 tahun. Struktur dirancang untuk dapat mendisipasikan energi dengan tingkat duktilitas rancang. Perancangan ini didasarkan atas konsep kekuatan perancangan kapasitas (*Capacity Design*).



Gambar 3.6 Skets Koefisien gempa dasar (C)

(disadur dari Ulasan Pedoman Beton, 1989)

3.3.1 Beban geser dasar akibat gempa

Setiap struktur gedung harus direncanakan dan dilaksanakan untuk menahan suatu beban geser dasar akibat gempa (V). Besarnya beban geser rencana (V) menurut Pedoman Perencanaan Ketahanan Gempa untuk Rumah dan Gedung, 1987 dapat dinyatakan sebagai berikut :

$$V = C \cdot I \cdot K \cdot W_t \quad (3.1)$$

dengan

V = gaya geser dasar horizontal akibat beban gempa

C = koefisien gempa dasar sseperti yang ditentukan dari spektrum respon percepatan

I = faktor keutamaan

K = faktor jenis struktur

W_t =berat total bangunan

3.3.2 Koefisien gempa dasar (C)

Koefisien gempa dasar bersfungsi untuk menjamin agar struktur mampu memikul beban gempa yang dapat menyebabkan kerusakan besar pada struktur. Koefisien gempa dasar dapat ditentukan dari Gambar 3.8 untuk suatu wilayah gempa tertentu dengan menggunakan waktu getar alami struktur jenis portal beton yang dihitung dengan rumus :

$$T = 0,06 \cdot H^{\frac{3}{4}} \quad (3.2)$$

dengan

T = waktu getar alami bangunan, dan

H = tinggi bangunan.

Setelah waktu getar dihitung dengan rumus di atas, kemudian di cek dengan metode Rayleigh dengan rumus :

$$T = 6,3 \sqrt{\frac{\sum W_i d_i^2}{g \cdot \sum F_i d_i}} \quad (3.3)$$

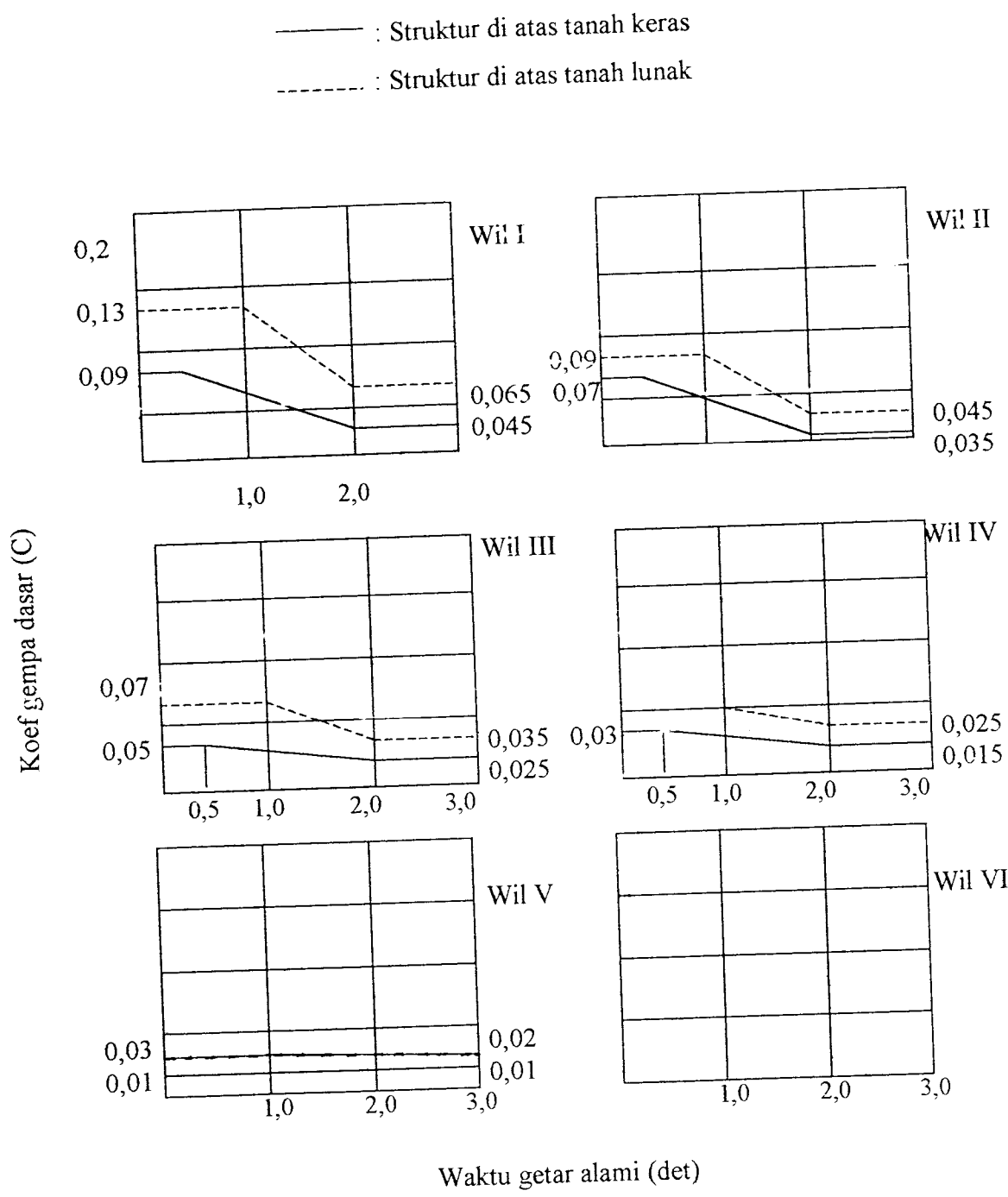
dengan

W_i = berat bangunan di lantai ke $-i$ (kN),

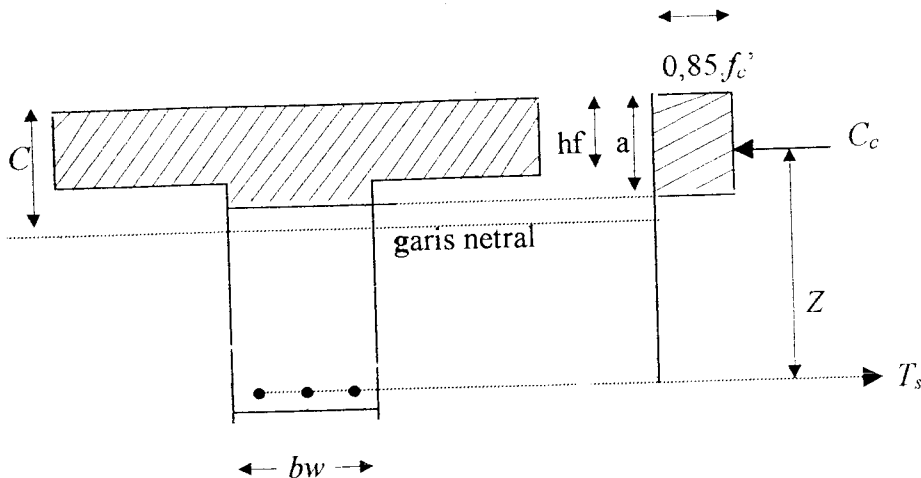
d_i = defleksi tiap-tiap lantai (m),

g = percepatan gravitasi (m/dt^2), dan

F_i = gaya geser dasar horizontal total akibat gempa (kN).



Gambar 3.8 Koefisien gempa dasar untuk berbagai wilayah gempa
(disadur dari PPKGURDG, 1987)



Gambar 3.11 Penampang balok T sebagai satu kesatuan dengan sistem plat
(disadur dari Nawy, 1990)

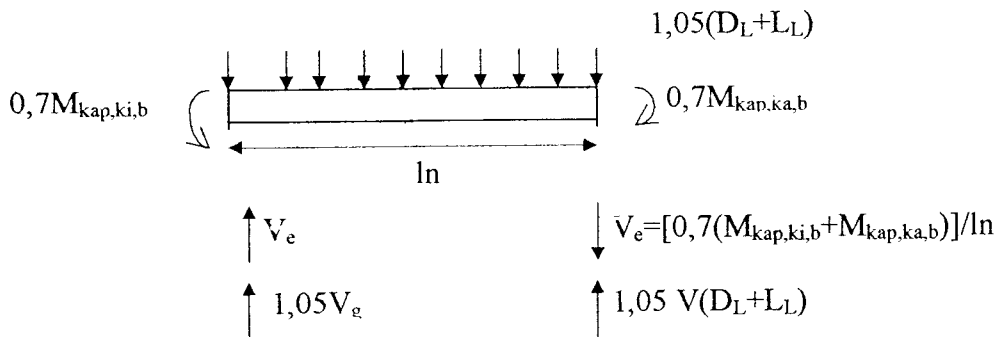
Lebar sayap (*flens*) efektif dari balok T ditentukan dengan mengambil nilai terkecil dari beberapa ketentuan berikut (SKSNI) :

1. $\frac{1}{4}$ panjang balok,
2. $bw + 16.hf$ (tinggi sayap / plat), dan
3. jarak pusat ke pusat antar balok.

Bila sayap hanya ada pada satu sisi maka lebar sayap yang diperhitungkan tidak lebih besar dari seperduabelas panjang bentangan balok, atau enam kali tebal plat, atau $\frac{1}{2}$ jarak bersih dengan balok disebelahnya.

Apabila $T_s > C_c$, maka balok berperilaku sebagai balok T murni dan daerah blok tegangan tekan akan meliputi seluruh sayap ditambah sebagian masuk ke daerah balok di bawah sayap, dan letak batas tepi bawah blok tegangan tekan ditentukan dengan :

$$a = \frac{T_s - C_c}{0,85 \cdot f'_c \cdot bw} + hf \quad (3.32)$$



Gambar 3.12 Persyaratan kuat geser balok (disadur dari Ulasan Pedoman Beton)

Nilai momen kapasitas balok diperhitungkan baik untuk kondisi positif di ujung kiri dan negatif di ujung kanan atau sebaliknya. Kombinasi nilai V_e dengan beban gravitasi V_g yang menghasilkan nilai terbesar dipakai untuk menentukan gaya geser rancang. Dalam penentuan kuat geser, nilai V_c (kontribusi beton) di daerah sendi plastis diasumsikan sama dengan ncl.

Penulangan geser balok

$$V_u/\phi \leq V_c + V_s , \quad (3.39)$$

$$V_c = \sqrt{\frac{1}{6} f'_c} \cdot bw \cdot d \quad (3.41)$$

$$V_s = Av \cdot fy \cdot d/s \quad (3.42)$$

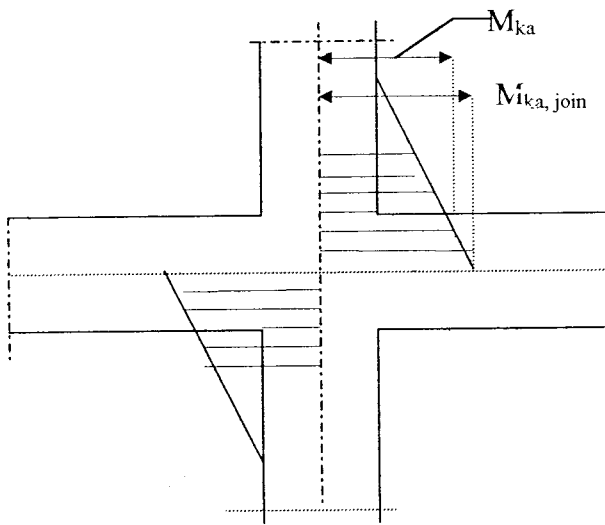
Dengan kuat geser beton pada daerah sendi plastis = 0 dan kuat geser beton pada daerah di luar sendi plastis,

$$V_c = \sqrt{\frac{1}{6} f'_c} \cdot bw \cdot d$$

Pada daerah sendi plastis, spasi maksimum tulangan geser tidak boleh melebihi nilai :

- $d/4$,

Penentuan momen kapasitas balok pada pusat join dilakukan dengan ekstrapolasi linier momen pada muka kolom ke pusat kolom.



Gambar 3.15 Penentuan momen rencana kolom pada muka balok

Penentuan momen rencana kolom pada muka balok dilakukan dengan interpolasi linier momen pada pusat balok ke muka balok.

Berdasarkan Gambar 3.14, Gambar 3.15, Gambar 3.16 dan Gambar 3.15 maka diperoleh rumus :

$$M_{u,k} = \frac{h'_k}{h_k} \omega_d \alpha_k \cdot 0,7 \left(\frac{l_{ki}}{l'_{ki}} M_{kap,ki} + \frac{l_{ka}}{l'_{ka}} M_{kap,ka} \right) \quad (3.44)$$

atau dapat disingkat menjadi :

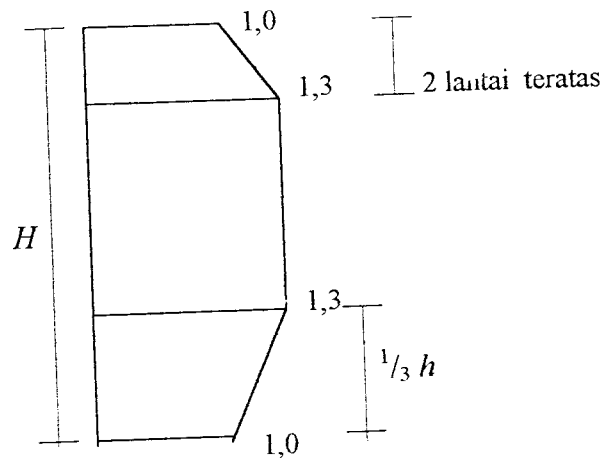
$$\Sigma M_{u,k} = 0,7 \omega_d \sum M_{kap,b} \quad (3.45)$$

Tetapi dalam segala hal tidak perlu lebih besar dari :

$$M_{u,k} = 1,05 (M_{c,k} + M_{v,k} + \frac{4,0}{l'} M_{e,k}) \quad (3.46)$$

dengan

ω_d : faktor pembesar dinamis yang memperhitungkan pengaruh terjadinya sendi plastis pada struktur secara keseluruhan diambil dari Gambar 3.16, dan



Gambar 3.16 Nilai ω (Faktor Pengali Dinamis)

α_k : faktor distribusi momen kolom portal yang ditinjau sesuai dengan kekauan relatif kolom atas dan kolom bawah.

Tetapi dalam segala hal tidak perlu lebih besar dari :

$$N_{u,k} = 1,05(N_{g,k} + \frac{4,0}{K} N_{E,k}) \quad (3.49)$$

dengan

Rn = faktor reduksi yang ditentukan sebesar :

$$1,0 \quad \text{untuk } 1 < n < 4,$$

$$1,1 - 0,025n \quad \text{untuk } 4 < n < 20, \text{ dan}$$

$$0,6 \quad \text{untuk } n > 20.$$

n = jumlah lantai di atas kolom yang ditinjau,

I_b = bentang balok dari pusat ke pusat kolom,

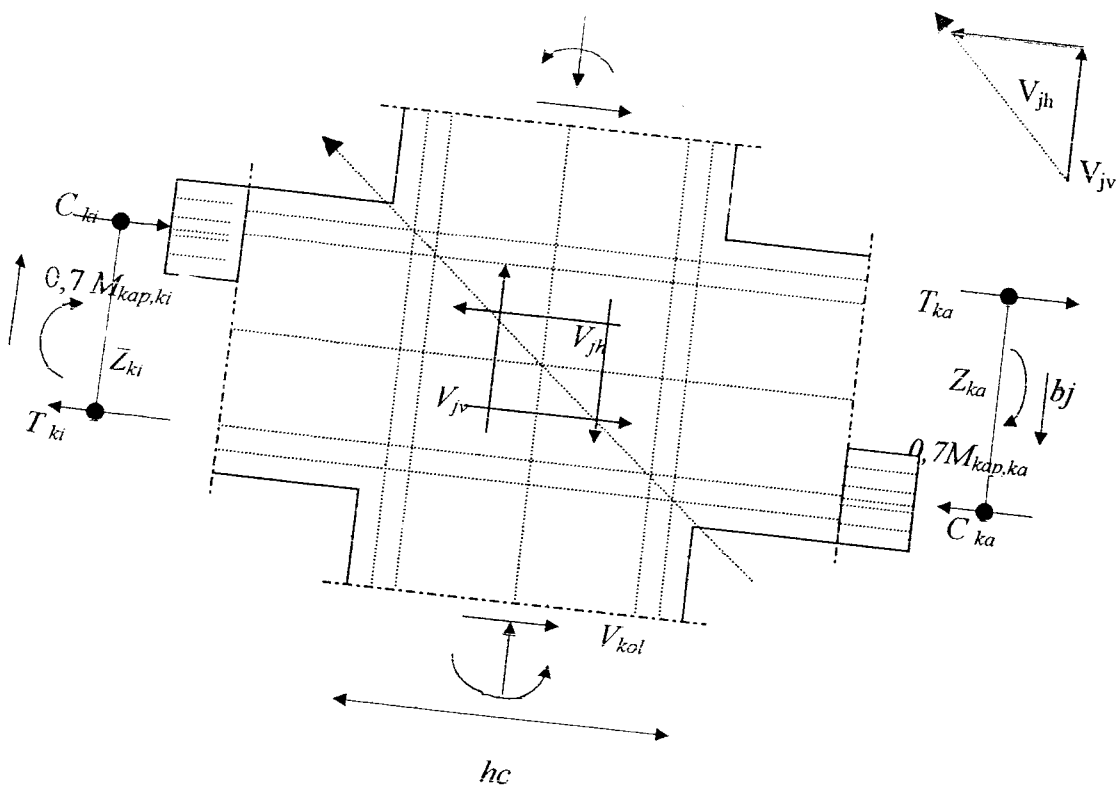
$N_{g,k}$ = gaya aksial kolom akibat beban gravitasi, dan

$N_{E,k}$ = gaya aksial kolom akibat beban gempa.

Dalam segala hal, kuat lentur dan aksial rancang kolom portal harus dapat memperhitungkan kombinasi pembebaan terfaktor antara beban gravitasi dan beban gempa dalam 2 arah yang saling tegak lurus (100% dalam satu arah, 30% dalam arah lain tegak lurus pada arah tersebut dan diambil yang paling menentukan).

3.8 Beban Geser Pada Kolom Portal

Kuat geser kolom portal ($V_{u,k}$) dengan daktilitas penuh berdasarkan terjadinya sendi-sendi plastis pada ujung balok-balok yang bertemu pada kolom tersebut harus dihitung dengan cermat sebagai berikut :



Gambar 3.20 Panel pertemuan balok dan kolom portal dalam kondisi terjadinya sendi-sendi plastis pada kedua ujung balok
(disadur dari Ulasan Pedoman Beton, 1989)

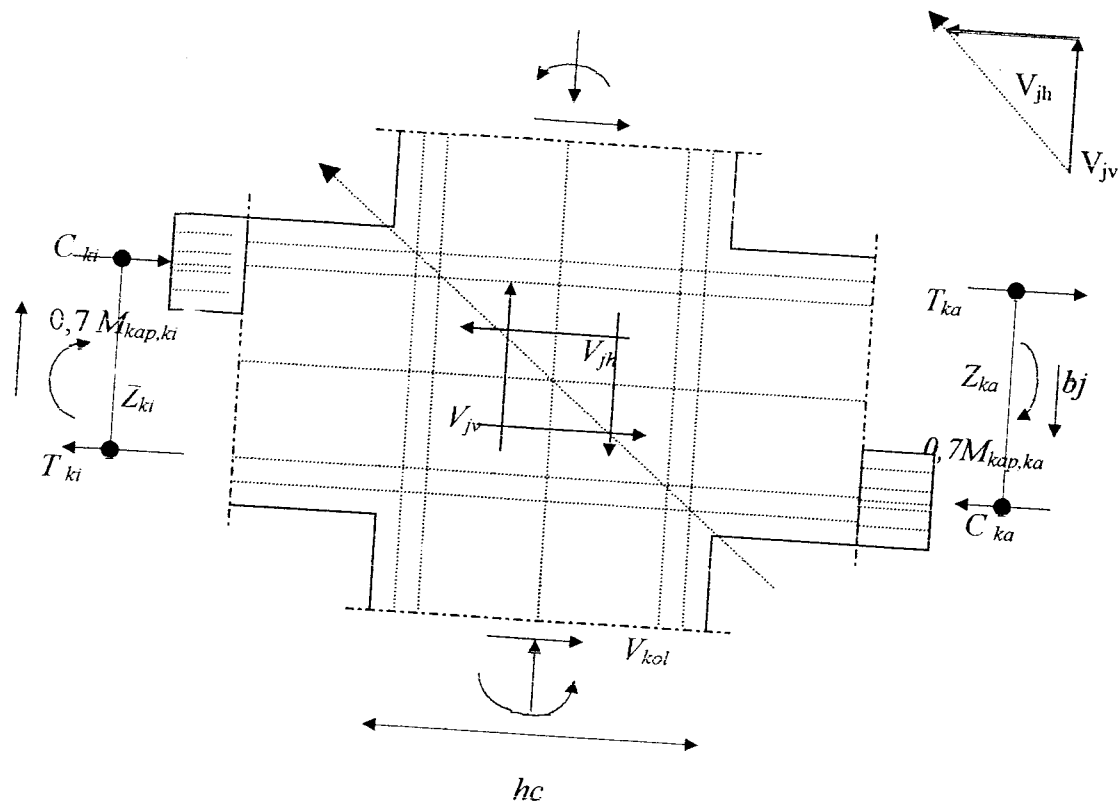
Tegangan geser horizontal nominal pada titik buhul adalah dengan

$$V_{jh} = \frac{V_{jh}}{b_j \cdot h_c} \quad (3.57)$$

b_j = lebar efektif titik buhul (mm), dan

h_c = tinggi total penampang kolom dalam arah geser yang ditinjau (mm).

V_{jh} tidak boleh lebih besar dari $1,5 \cdot \sqrt{f_c} \cdot (MPa)$.



Gambar 3.20 Panel pertemuan balok dan kolom portal dalam kondisi terjadinya sendi-sendi plastis pada kedua ujung balok
(disadur dari Ulasan Pedoman Beton, 1989)

Tegangan geser horizontal nominal pada titik buhul adalah

$$V_{jh} = \frac{V_{jh}}{bj \cdot hc} \quad (3.57)$$

dengan

bj = lebar efektif titik buhul (mm), dan

hc = tinggi total penampang kolom dalam arah geser yang ditinjau (mm).

V_{jh} tidak boleh lebih besar dari $1,5 \cdot \sqrt{f'_c}$ (MPa).

Gaya geser vertikal pada titik buhul (V_{jv}) dapat dihitung dari

$$V_{jv} = V_{jh} \cdot \frac{bj}{h_k} \quad (3.64)$$

sedangkan tulangan geser vertikal titik buhul didapat dari

$$V_{sv} = V_{jv} - V_{cv} \quad (3.65)$$

menjadi

$$V_{cv} = A_{sc} \cdot \frac{V_{sh}}{V_{sv}} \left(0,6 + \frac{N_{u,k}}{A_g f_c'} \right) \quad (3.66)$$

dengan

A_{sc} = luas tulangan longitudinal tekan (mm^2), dan

A_{sc}' = luas tulangan longitudinal tarik (mm^2).

Luas tulangan geser vertikal yang dibutuhkan pada titik buhul dalam daerah sepanjang lebar pertemuan efektif bj ditentukan dengan persamaan :

$$A_{sv} = \frac{V_{sv}}{f_y} \quad (3.67)$$

Tulangan geser titik buhul vertikal ini harus terdiri dari tulangan kolom antara (*intermediate bars*) yang terletak pada bidang lentur antara ujung tulangan terbesar atau terdiri dari sengkang-sengkang pengikat vertikal, dengan jarak maksimum antar tulangan yang diukur dari as ke as adalah 200 mm.

Titik buhul diantara batang-batang seperti panel pertemuan balok dan kolom sangat peka terhadap keretakan awal dibandingkan dengan batang yang didukungnya akibat kerusakan pada semuanya titik buhulnya.

Untuk menghindari hal itu maka perencanaan titik buhul dilakukan dengan konsep desain kapasitas dengan 2 mekanisme yang terjadi yakni mekanisme straf beton diagonal yang melewati daerah tekan ujung titik buhul dan mekanisme



panel rangka yang terdiri dari sengkang horizontal dan strat diagonal beton daerah tarik titik buhul.

Dalam peraturan beton yang ada diseluruh dunia belum ada kesepakatan dalam perencanaan, yakni tentang ragam keruntuhan yang dapat diterima pada titik buhul balok-kolom. Ada yang mengharapkan titik buhul balok-kolom tetap dalam keadaan elastis, ada pula yang memperkenankan terjadinya kerusakan-daktil. Peraturan ACI memperkenankan terjadinya *slip* pada titik buhul balok-kolom dan dapat menerima konsekuensinya, sedangkan SK SNI T-15-1991-03 yang menggunakan perhitungan titik buhul balok-kolom berdasarkan CEB 1985 tidak memberikan ketentuan khusus tentang kemungkinan terjadinya *slip*.

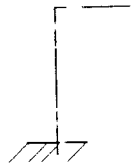
Secara ringkas kriteria perencanaan titik buhul balok-kolom untuk struktur beton bertulang portal terbuka harus memenuhi ketentuan yang diatur oleh SK SNI T-15-1991-03 sebagai berikut :

1. kekuatan titik buhul tidak boleh lebih kecil dari kekuatan komponen struktur yang dihubungkan,
2. titik buhul harus tetap dalam keadaan elastis karena kesulitan dalam perbaikan dan penurunan kemampuan memancarkan energi pada mekanisme keruntuhan titik buhul,
3. kekuatan kolom tidak boleh diperlemah oleh perilaku titik buhul yang berdekatan, dan
4. deformasi titik buhul tidak boleh memperbesar simpangan antar tingkat.

A. Kontrol Waktu Getar Alami T Pada Portal Arah X

1) Kolom Tepi

❖ Lantai 1



Kekakuan relatif kolom diperoleh setelah momen inersia dari balok dan kolom dihitung.

$$Kb = \frac{Ib}{L} \quad \text{dan} \quad Kk = \frac{Ik}{h}$$

dimana Kb : kekakuan relatif balok,

Kk : kekakuan relatif kolom.

Ib : momen inersia balok,

Ik : momen inersia kolom,

L : panjang balok, dan

h : tinggi kolom.

maka :

$$Kb_1 = \frac{\frac{1}{12} \times 0,3 \times (0,5)^3}{6} = 0,0005 m^3$$

$$Kk = \frac{\frac{1}{12} \times 0,7 \times (0,7)^3}{3,5} = 0,0057 m^3$$

kemudian dihitung nilai-nilai K dan α sesuai dengan kondisi atau letak kolom yang ditentukan.

$$Kb_1 = Kb_2 = Kb_3 = Kb_4$$

$$Kk = \frac{\frac{1}{12}x0,7x(0,7)^3}{3,5} = 0,0057m^3$$

kemudian dihitung nilai-nilai K dan α sesuai dengan kondisi atau letak kolom yang ditentukan.

Untuk kolom tepi lantai 2,3,4,5,6,7,8,9, dan 10 :

$$K = \frac{Kb_1 + Kb_2 + Kb_3 + Kb_4}{2xKk} = \frac{4x0,0005}{2x0,0057} = 0,175$$

$$\alpha = \frac{K}{2 + K} = \frac{0,175}{2 + 0,175} = 0,08$$

Defleksi horizontal lantai i terhadap lantai dasar adalah :

$$\begin{aligned} a. \quad \sum \alpha \text{ lantai } 1 &= 10 \cdot \alpha_{k\text{tepi}} + 10 \cdot \alpha_{k\text{tengah}} \\ &= 10 \cdot 0,2661 + 10 \cdot 0,282 \\ &= 5,481, \text{ dan} \end{aligned}$$

$$\begin{aligned} b. \quad \sum \alpha \text{ lantai } 2,3,4,5,6,7,8,9 \text{ dan } 10 &= 10 \cdot \alpha_{k\text{tepi}} + 10 \cdot \alpha_{k\text{tengah}} \\ &= 10 \cdot 0,042 + 10 \cdot 0,08 \\ &= 1,22. \end{aligned}$$

Perhitungan waktu getar bangunan dalam arah X , untuk lantai 10

Diketahui : dimensi balok induk = 30/50,

dimensi balok anak = 25/40,

dimensi kolom = 70/70,

$Lx = 6m, \quad h = 3,5m, \quad Ly = 4m, \text{ dan } Kk = 0,0057.$

Nilai D_{ijx} adalah elemen-elemen penahan beban lateral yang terdapat pada tingkat 10 :

$$\begin{aligned}\sum D_{ijx} &= \sum a_{(10)} \cdot Kk \\ &= 1,22 \cdot 0,0057 \\ &= 0,006954 \text{ m}^3\end{aligned}$$

Inersia penampang kolom ($12E/h^2$). 0,75 dengan 0,75 adalah faktor reduksi inersia, maka :

$$= \frac{12 \times 25742960}{3,5^2} \times 0,75 = 18913195,1 \text{ KN/m}^4$$

Untuk kekakuan :

$$\begin{aligned}K_{ix} &= \sum D_{ijx} \cdot (12E/h^2) \cdot 0,75 \\ &= 0,006954 \cdot 18913195,1 \\ &= 131522,4 \text{ kN/m}\end{aligned}$$

Pada hitungan distribusi gaya geser horizontal total akibat gempa ke sepanjang tinggi gedung didapat :

$$F_{i,x} = \frac{W_i h_i}{\sum W_i h_i} V_x = 898,6449 \text{ kN}$$

Dari Tabel 4.2 diperoleh nilai $F_{i,x}$, sedangkan nilai dari V_{ix} yakni total penjumlahan nilai $F_{i,x}$ terhadap satu lantai di bawahnya (nilai $F_{i,x}$ lantai 10+nilai $F_{i,x}$ lantai 9) adalah nilai dari $V_{i,x}$ untuk lantai 9, yakni :

$$\begin{aligned}V_{i,x} &= F_{ix,10} + F_{ix,9} \\ &= 898,6449 + 1509,731 \\ &= 2408,376 \text{ kN}\end{aligned}$$

B. Kontrol Waktu Getar Alami T Pada Portal Arah Y

1) Kolom Tepi

❖ Lantai 1



Kekakuan relatif kolom diperoleh setelah momen inersia dari balok dan kolom dihitung.

$$Kb = \frac{Ib}{L} \quad \text{dan} \quad Kk = \frac{Ik}{h}$$

dimana Kb : kekakuan relatif balok,

Kk : kekakuan relatif kolom,

Ib : momen inersia balok,

Ik : momen inersia kolom,

L : panjang balok, dan

h : tinggi kolom.

maka :

$$Kb_1 = \frac{\frac{1}{12} \times 0,3 \times (0,5)^3}{4} = 0,00078 m^3$$

$$Kk = \frac{\frac{1}{12} \times 0,7 \times (0,7)^3}{3,5} = 0,0057 m^3$$

kemudian dihitung nilai-nilai K dan α sesuai dengan kondisi atau letak kolom yang ditentukan.

Nilai D_{ijy} adalah elemen-elemen penahan beban lateral yang terdapat pada tingkat 10 :

$$\begin{aligned}\sum D_{ijy} &= \sum a_{(10)} \cdot Kk \\ &= 1,844 \cdot 0,0057 \\ &= 0,0105108 \text{ m}^3\end{aligned}$$

Inersia penampang kolom $(12E/h^2) \cdot 0,75$ dengan 0,75 adalah faktor reduksi inersia, maka :

$$= \frac{12 \times 25742960}{3,5^2} \times 0,75 = 18913195,1 \text{ KN/m}^4$$

Untuk kekakuananya :

$$\begin{aligned}K_{iy} &= \sum D_{ijy} \cdot (12E/h^2) \cdot 0,75 \\ &= 0,0105108 \cdot 18913195,1 \\ &= 198792,81 \text{ kN/m}\end{aligned}$$

Pada hitungan distribusi gaya geser horizontal total akibat gempa ke sepanjang tinggi gedung didapat :

$$F_{i,x} = \frac{W_i \cdot h_i}{\sum W_i \cdot h_i} V_x = 898,6449 \text{ KN}$$

Dari Tabel 4.2 diperoleh nilai $F_{i,x}$, sedangkan nilai dari V_{ix} yakni total penjumlahan nilai $F_{i,x}$ terhadap satu lantai di bawahnya (nilai $F_{i,x}$ lantai 10+nilai $F_{i,x}$ lantai 9) adalah nilai dari $V_{i,x}$ untuk lantai 9, yakni :

$$\begin{aligned}V_{i,x} &= F_{ix,10} + F_{ix,9} \\ &= 898,6449 + 1509,731 \\ &= 2408,376 \text{ kN}\end{aligned}$$

Sedangkan untuk defleksi relatif pada tiap-tiap tingkat dihitung

dengan rumus :

$$\delta_i = \frac{V_{ix}}{K_{ix}}$$

Dimana : δ_i : defleksi antar taraf lantai i dan taraf lantai $i-1$,

K_{ix} : kekakuan tingkat i , dan

V_{ix} : gaya geser tingkat i , yang nilainya sama dengan jumlah semua beban horizontal terpusat yang menangkap pada taraf lantai-lantai yang berada di atas taraf i yang ditinjau.

$$\delta_i = \frac{898,6449}{198792,8} = 0,004521m$$

Adapun defleksi pada tiap-tiap lantai dihitung dengan rumus :

$$\begin{aligned} d_{ix} &= \sum \delta_{ix} - \delta_{ix} \\ &= 0,256887 - 0,004521 \\ &= 0,252366 \text{ m} \end{aligned}$$

Setelah didapatkan nilai dari d_{ix} , maka waktu getar struktur dapat dicari dengan persamaan :

$$T_x = 6,3 \sqrt{\frac{\sum W_i d_{ix}^2}{g \cdot \sum F_{ix} \cdot d_{ix}}}$$

Langkah ini kemudian ditabelkan untuk kesepuluh tingkat seperti pada Tabel 4.3, Tabel 4.4. Sedangkan untuk waktu getar struktur dapat dilihat pada Tabel 4.5.

8. Distribusi akhir gaya geser dasar horizontal total akibat gempa ke sepanjang tinggi gedung

- a) Waktu getar dan koefisien gempa dasar

Perhitungan waktu getar dengan cara *T-Rayleigh* diperoleh hasil :

$$Tx = 2,70093 \text{ detik} \quad Ty = 2,220394 \text{ detik}$$

Berdasarkan waktu getar portal arah x (Tx) dan y (Ty) tersebut akan

diperoleh koefisien gempa dasar berdasarkan tabel di bawah ini.

Tabel 4.6 Koefisien gempa dasar berdasarkan waktu getar dengan cara *T-Rayleigh*

<i>K</i>	Zona	<i>Cx</i>	<i>Cy</i>
1	1	0,065	0,065
	2	0,045	0,045
	3	0,035	0,035
	4	0,025	0,025
	5	0,02	0,02

Karena koefisien gempa dasar C untuk periode bangunan dengan cara empiris dan dengan cara *T-Rayleigh* tidak sama, maka harus diakukan perhitungan ulang gaya geser dasar dengan menggunakan nilai Cx dan Cy untuk masing-masing arah portal (arah X dan arah Y).

b) Gaya geser dasar horizontal total akibat gempa

I) Gaya geser dasar arah $X =$ Gaya geser dasar arah Y

$$\begin{aligned}
 V_x &= C_x \cdot I \cdot K \cdot W_t \\
 &= 0,065 \cdot 1 \cdot 1 \cdot 64979,21 \\
 &= 4223,649 \text{ kN}
 \end{aligned}$$

Tabel 4.7 Gaya Geser Dasar Horizontal

K	I	W_t	Zona	C_x	$V_x (kN)$	C_y	$V_y (kN)$
1	1	64979,21	1	0,065	4223,649	0,065	4223,649
			2	0,045	2924,064	0,045	2924,064
			3	0,035	2274,27	0,035	2274,27
			4	0,025	1624,48	0,025	1624,48
			5	0,02	1299,5842	0,02	1299,5842

Selanjutnya distribusi akhir dari gaya geser dasar horizontal disajikan dalam Tabel 4.8 dan Tabel 4.9.

♦ Beban titik akibat balok anak

▪ plat	: $1 \times 0,1 \times 24 \times 4$	= 9,6
▪ plafon	: $1 \times (0,11+0,07) \times 4$	= 0,72
▪ balok anak	: $0,25 \times 0,3 \times 24$	= 1,8
		<hr/>
		$q_{eq} = 12,12 \text{ kN/m}'$

$$\begin{aligned}
 P_u &= 1,15 \times q_{eq} \times L_x \\
 &= 1,15 \times 12,12 \times 6 \\
 &= 83,628 \text{ kN} \approx 83,63 \text{ kN}
 \end{aligned}$$

2) Beban gravitasi pada balok lantai 1 s/d 9

♦ Beban mati untuk tiap m'

▪ plat	: $1 \times 0,12 \times 24 \times 4,88$	= 14,0544
▪ plafon	: $1 \times (0,11+0,07) \times 4,88$	= 0,8784
▪ spesi	: $1 \times 21 \times 0,02 \times 4,88$	= 2,0496
▪ pasir	: $1 \times 16 \times 0,05 \times 4,88$	= 3,904
▪ tegel	: $1 \times 24 \times 0,02 \times 4,88$	=
	2,3424	
▪ balok induk	: $0,3 \times 0,38 \times 24$	= 2,736
▪ dinding	: $3,5 \times 2,5$	= 8,75
		<hr/>
		$q_{eq} = 20,6604 \text{ kN/m}'$

beban mati ekivalen

♦ Beban hidup untuk tiap m'

▪ q_h lantai	= 2,5 kN/m'
▪ koefisien reduksi	= 0,6 (PMI 83)

5.2 Gaya-Gaya Dalam Portal

Perhitungan yang dilakukan pada Tugas Akhir ini adalah semua titik dalam portal, input data dan output SAP-90 (dalam kN-m) dapat dilihat pada lampiran. Sedangkan untuk hasil analisis gaya-gaya dalam portal akibat beban mati, beban hidup, beban gempa serta kombinasinya dapat dilihat pada Tabel 5.1, Tabel 5.2, Tabel 5.3, Tabel 5.4, Tabel 5.5, dan Tabel 5.6.

Karena $\varepsilon_s > \varepsilon_y > \varepsilon_s'$, maka tulangan baja tarik telah meluluh tetapi tulangan baja tekan belum meluluh. Dengan demikian ternyata anggapan pada langkah awal tidak benar, oleh karena itu maka letak garis netral c dicari kembali dengan persamaan berikut ini.

$$(0,85 \cdot f_c' \cdot b \cdot \beta_1) c^2 + (600 A_s' - A_s \cdot f_y) c - 600 d' \cdot A_s' = 0$$

$$(0,85 \cdot 30 \cdot 300 \cdot 0,85) c^2 + (600 \cdot 1472,7 - 3436,3 \cdot 400) c - (600 \cdot 70 \cdot 1472,7) = 0$$

$$c^2 - 37,75 c + 9512,25 = 0$$

$$\text{Didapat } c = 142,33 \text{ mm}$$

$$a = \beta_1 \cdot c = 0,85 \cdot 142,33 = 120,98 \text{ mm}$$

$$Nd_1 = 0,85 \cdot f_c' \cdot a \cdot b (d-1/2a)$$

$$= 0,85 \cdot 30 \cdot 120,98 \cdot 300 \cdot (10^{-3}) \cdot (425-1/2 \cdot 120,98)$$

$$= 337,349 \text{ kN}$$

$$fs = \frac{c - d'}{c} = \frac{142,33 - 70}{142,33} \cdot 600 = 304,91 \text{ MPa}$$

$$Nd_2 = A_s' \cdot fs' \cdot (d-d')$$

$$= 1472,7 \cdot 304,91 \cdot (10^{-3}) \cdot (425-70) = 159,407 \text{ kN}$$

$$M_{nak} = Nd_1 + Nd_2$$

$$= 337,349 + 159,407$$

$$= 496,756 \text{ kN}$$

2. Momen nominal aktual positif

Pada perhitungan momen nominal aktual positif, digunakan asumsi balok T .

Tulangan atas $7D_{-25} = 3436,3 \text{ mm}^2$

Tulangan bawah 3D-25 = 1472,7 mm²

$$\frac{\rho'}{\rho} = \frac{3436,3}{1472,7} = 2,3. \quad \text{diambil} \frac{\rho'}{\rho} = 1$$

Lebar efektif balok ditentukan dengan menentukan nilai terkecil dari :

- ◆ $\frac{1}{4}$ panjang bentang balok = $\frac{1}{4}.6000 = 1500$ mm,
- ◆ $bw + 16hf = 300 + 16.120 = 2220$ mm, dan
- ◆ Jarak antar balok = 4000 mm.

Digunakan lebar efektif balok = 1500 mm

$$d = h - 70 = 430 \text{ mm}, hf = 120 \text{ mm}$$

$$Mu^+ = 181,48 \text{ kN.m}$$

$$\begin{aligned} M_R &= 0,8.0,85.fc'.b.hf.(d-1/2hf) \\ &= 0,8.0,85.30.1500.120.(430-1/2.120) \\ &= 1358,64 \text{ kN.m} \end{aligned}$$

dengan demikian balok T diperhitungkan sebagai balok persegi dengan

lebar $b=1500$ mm

$$\rho = \frac{1472,7}{430.1500} = 0,0023$$

$$\begin{aligned} Rn &= (\rho + \frac{1}{2} \rho^2 \cdot m).fy \\ &= (0,0023 + \frac{1}{2} \cdot (0,0023)^2 \cdot 15,68) \cdot 400 \\ &= 0,93 \end{aligned}$$

$$\begin{aligned} Mn &= Rn \cdot b \cdot d^2 \\ &= 0,93 \cdot 1500 \cdot 430^2 \\ &= 257,84 \text{ kN.m} > Mu^+ = 181,48 \text{ kN.m} \end{aligned}$$

Sebagai contoh hitungan ditinjau pada elemen balok lantai 1, di bawah ini.

$$M_{kap}^- = 620,95 \text{ kN.m}; M_{kap}^+ = 322,3 \text{ kN.m}$$

$$V_D = 63,38 \text{ kN}; V_L = 9,163 \text{ kN}; V_E = 80,53 \text{ kN}, L_n = 5,3 \text{ m}$$

$$V_{u,b1} = 0,7 \cdot \frac{620,95 + 322,3}{5,3} + 1,05 \cdot 80,53 = 200,75 \text{ kN}$$

$$V_{u,b2} = 1,05 \cdot (63,38 + 9,163 + \frac{4}{1} \cdot 80,53) = 414,4 \text{ N}$$

$$\text{Dipakai } V_{u,b} = 200,75 \text{ kN}$$

Dengan cara yang sama didapat gaya geser terpakai dari semua balok yang ditunjukkan dalam Tabel 5.13 sampai dengan Tabel 5.18.

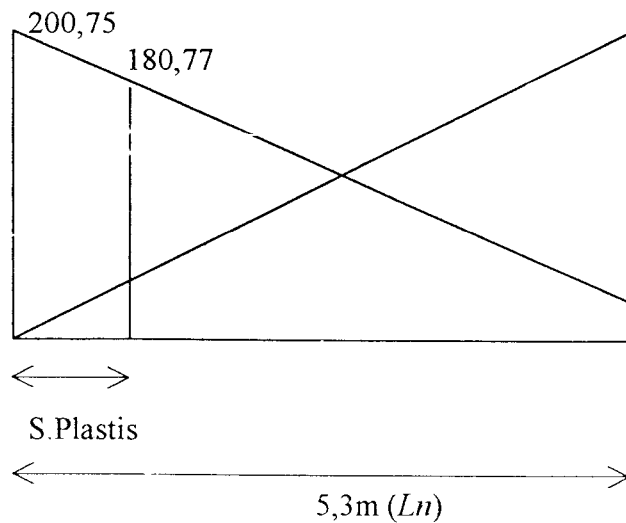
3. Penulangan Geser Balok

Ditinjau pada balok lantai 1.

a. Sepanjang daerah sendi plastis

$$V_{u,b} \text{ terpakai} = 200,75 \text{ kN} \quad V_c = 0$$

$$V_s = \frac{V_{u,b}}{0,6} = \frac{200,75}{0,6} = 334,58 \text{ kN}$$



Gambar 5.1 Daerah sendi plastis pada penulangan geser balok

$$V_{s,mak} \frac{2}{3} \sqrt{f'_c \cdot b \cdot d} = \frac{2}{3} \sqrt{30.300.425} = 465,564 kN$$

$$S = \frac{A_v \cdot f_y \cdot d}{V_s} = \frac{2.1/4 \cdot \pi \cdot 10^2 \cdot 400.425}{334,58} = 79,771 mm$$

Syarat :

$$S \leq \frac{1}{4} \cdot d = \frac{1}{4} \cdot 425 = 106,25 mm$$

Dipakai $\phi 10-55$ mm

b. Diluar daerah sendi plastis

$$V_{u,b} \text{ terpakai} = 180,77 kN$$

$$V_c = 1/6 \cdot \sqrt{f'_c \cdot b \cdot d} = 1/6 \cdot \sqrt{30.300.425} = 116,39 kN$$

$$V_s = \frac{V_{u,b}}{0,6} - V_c = \frac{180,77}{0,6} - 116,39 = 184,89 kN$$

$$S = \frac{A_v \cdot f_y \cdot d}{V_s} = \frac{2.1/4 \cdot \pi \cdot 10^2 \cdot 400.425}{184,89} = 144,4 mm$$

syarat :

$$S \leq \frac{1}{2} \cdot d = \frac{1}{2} \cdot 425 = 212,5 mm$$

Dipakai $\phi 10-100mm$

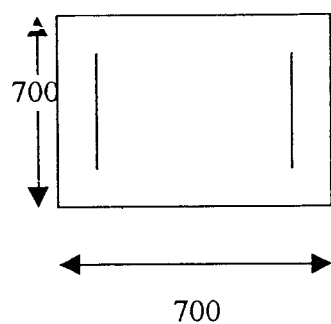
Dengan cara yang sama diperoleh dimensi dan spasi tulangan geser terpakai dari semua balok yang ditunjukkan dalam Tabel 5.19 sampai dengan Tabel 5.24.

5.2 Desain Kolom

Untuk mendesain kolom, perlu dihitung momen rencana dan momen maksimum terlebih dahulu.

$$N_u, k_1 y_{bawah} = 1,05 \cdot [2835,735 - \left(\frac{4}{1} \right) \cdot 1079,86] = -32195 kN$$

5.2.3 Penulangan Kolom



Sebagai contoh hitungan penulangan kolom ditinjau pada kolom lantai 1.

$$Nu,k = 2940,2 \text{ kN}$$

$$Mu,k = 172,3 \text{ kN.m}$$

$$Nn,k = 4523,04 \text{ kN}$$

$$Mn,k = 265,07 \text{ kN.m}$$

$$e = \frac{M_{n,k}}{N_{n,k}} = \frac{265,07}{4523,04} = 58,601 \text{ mm}$$

Direncanakan ukuran kolom 700//00, dengan rasio penulangan 1%.

A_s pada tiap sisi = 0,5% A_{tot}

$$= 0,5\% \cdot 700 \cdot 630$$

$$= 2205 \text{ mm}^2$$

Dicoba tulangan 5D25 pada masing-masing sisi ($A_s = A_s' = 2454,5 \text{ mm}^2$)

$$d = 700 - 70 = 630 \text{ mm}$$

$$\rho = \frac{A_s}{A_{tot}} = \frac{2454,5}{700 \cdot 630} = 0,0056$$

$$cb = \frac{600}{600 + fy} \cdot d = \frac{600}{600 + 400} \cdot 630 = 378$$

$$ab = \beta_1 \cdot cb = 0,85 \cdot 378 = 321,3 \text{ mm}$$

$$fs' = \frac{cb - d'}{cb} \cdot 600 = \frac{378 - 70}{378} \cdot 600 = 488,89 > fy = 400 MPa$$

$$V_{u,k} = 1,05.(V_{D,k} + V_{L,k} + \frac{4}{K}V_{E,k})$$

Distribusi momen kolom menjadi momen kolom atas dan momen kolom bawah dilakukan berdasarkan persamaan distribusi momen (Kusuma dan Andriono, 1994).

$$\alpha_{k-bawah} = \frac{M_{E,atas,k-bawah}}{M_{E,atas,k-bawah} + M_{E,bawah,k-atas}}, \quad \alpha_{k-atas} = \frac{M_{E,bawah,k-atas}}{M_{E,bawah,k-atas} + M_{E,atas,k-bawah}}$$

Akan tetapi pada lantai dasar dan lantai teratas yang diperbolehkan terjadi sendi plastis pada kolom, gaya geser rencana dihitung berdasarkan momen kapasitas kolom..

Sebagai contoh hitungan ditinjau pada kolom lantai 1.

$$Mu,k \text{ atas} = 172,3 \text{ kN.m}$$

$$Mu,k \text{ bawah} = 1206 \text{ kNm (momen kapasitas kolom)}$$

$$V_D = 13,249 \text{ kN} ; V_L = 1,976 \text{ kN} ; V_{Ex} = 173,24 \text{ kN} ; V_{ey} = 326,66 \text{ kN}$$

$$V_{u,k} = \frac{(172,3 + 1206)}{3,25} = 424,2 \text{ kN}$$

$$V_{u,kx} = 1,05.(13,249 + 1,976 + \frac{4}{1}.173,24) = 743,58 \text{ kN}$$

$$V_{u,ky} = 1,05.(13,249 + 1,976 + \frac{4}{1}.326,66) = 1387,9 \text{ kN}$$

$$\text{Dipakai } V_{u,k} = 424,2 \text{ kN}$$

Dengan cara yang sama didapat gaya geser kolom terpakai lainnya yang ditunjukkan dalam Tabel 5.35 dan Tabel 5.36.

Z diasumsikan = 0,60 m

$$T = 0,7 \cdot \frac{M_{kap}}{z} = 0,7 \cdot \frac{882,64}{0,6} = 1029,747 \text{ kN}$$

$$V_{jh} = T - V_k = 1029,747 - 199,8 = 829,947 \text{ kN}$$

Kontrol tegangan geser horizontal :

$$V_{jh} = \frac{V_{jh}}{bj.hc} = \frac{829,947}{0,7 \cdot 0,7} = 1,6937 \text{ MPa} < 1,5 \cdot \sqrt{f_c'} = 8,22 \text{ MPa}$$

Penulangan geser horizontal :

$$N_u = 2950,9 \text{ kN}; \frac{N_u}{Ag} = \frac{2940,2}{0,7 \cdot 0,7} = 6,00 \text{ MPa} > 0,1 \cdot f_c' = 3 \text{ MPa.}$$

$$V_{ch} = \frac{V_{sh}}{\sqrt{\left(\frac{N_u}{Ag}\right) - 0,1 \cdot f_c'}} \cdot bj.hc = \frac{V_{sh}}{\sqrt{[6,00] - 0,1 \cdot 30}} \cdot 0,7 \cdot 0,7 = 565,84 \text{ kN}$$

$$V_{sh} = V_{jh} - V_{ch} = 829,947 - 565,84 = 264,06 \text{ kN}$$

A_s perlu :

$$A_{sh} = \frac{V_{sh}}{fy} = \frac{264,06}{400} = 660,15 \text{ mm}^2$$

Digunakan sengkang rangkap $\phi 12$, $A_s = 452,39 \text{ mm}^2$

$$\sum \text{lapis perlu} = \frac{A_{sh}}{A_s} = \frac{660,15}{452,39} = 1,46$$

Dipakai 2 lapis sengkang rangkap $\phi 12$.

2. Penulangan Geser Vertikal

$$V_{cv} = \frac{A_s V_{jh}}{A_s} \cdot \left(0,6 + \frac{N_u}{Ag \cdot f_c'}\right) = 829,947 \cdot \left(0,6 + \frac{2940,2}{700 \cdot 700 \cdot 30}\right) = 663,93 \text{ kN}$$

$$V_{sv} = V_{jv} - V_{cv} = 829,947 - 663,93 = 165,97 \text{ kN}$$

$$A_{jv} = \frac{V_{sv}}{fy} = \frac{165,97}{400} = 414,925 \text{ mm}^2$$

Tulangan kolom terpasang = 3D₂₅ ; $A_s = 1472,7 \text{ mm}^2 > A_{jv}$.

Dengan cara yang sama didapat penulangan geser pertemuan balok kolom lainnya yang ditunjukkan dalam Tabel 5.39 dan Tabel 5.40.

6.1.4 Tulangan Geser Kolom

Diameter daan spasi tulangan geser kolom terpakai sepanjang daerah Io maupun di luar daerah Io dapat dilihat pada tabel tulangan geser kolom.

Tabel 6.8 Tulangan geser kolom portal as A-I s/d A-IV

Klm	Daerah Io					Di luar daerah Io					Ket
	Zona 1	Zona 2	Zona 3	Zona 4	Zona 5	Zona 1	Zona 2	Zona 3	Zona 4	Zona 5	
1	Ø10 10	Ø10 15	Ø10 20	Ø10 30	Ø10 35	Ø10 30	Ø10 20	Ø10 50	Ø10 50	Ø10 50	Lt 1
4	Ø10 10	Ø10 15	Ø10 20	Ø10 30	Ø10 35	Ø10 25	Ø10 20	Ø10 50	Ø10 50	Ø10 50	Lt 1
22	Ø10 15	Ø10 20	Ø10 25	Ø10 25	Ø10 25	Ø10 75	Ø10 20	Ø10 75	Ø10 50	Ø10 100	Lt 2
25	Ø10 5	Ø10 10	Ø10 10	Ø10 10	Ø10 10	Ø10 15	Ø10 20	Ø10 25	Ø10 25	Ø10 30	Lt 2
43	Ø10 10	Ø10 15	Ø10 15	Ø10 20	Ø10 20	Ø10 30	Ø10 25	Ø10 50	Ø10 100	Ø10 100	Lt 3
46	Ø10 10	Ø10 10	Ø10 10	Ø10 10	Ø10 10	Ø10 15	Ø10 25	Ø10 25	Ø10 25	Ø10 25	Lt 3
64	Ø10 15	Ø10 20	Ø10 20	Ø10 25	Ø10 20	Ø10 75	Ø10 30	Ø10 75	Ø10 100	Ø10 100	Lt 4
67	Ø10 10	Ø10 10	Ø10 15	Ø10 10	Ø10 15	Ø10 20	Ø10 30	Ø10 45	Ø10 45	Ø10 45	Lt 4
85	Ø10 15	Ø10 20	Ø10 30	Ø10 30	Ø10 30	Ø10 100	Ø10 35	Ø10 55	Ø10 50	Ø10 75	Lt 5
88	Ø10 10	Ø10 10	Ø10 15	Ø10 15	Ø10 15	Ø10 20	Ø10 35	Ø10 55	Ø10 100	Ø10 50	Lt 5
106	Ø10 20	Ø10 20	Ø10 30	Ø10 30	Ø10 30	Ø10 100	Ø10 35	Ø10 55	Ø10 50	Ø10 70	Lt 6
109	Ø10 10	Ø10 10	Ø10 15	Ø10 15	Ø10 15	Ø10 30	Ø10 35	Ø10 55	Ø10 50	Ø10 50	Lt 6
127	Ø10 20	Ø10 30	Ø10 30	Ø10 50	Ø10 30	Ø10 100	Ø10 35	Ø10 55	Ø10 35	Ø10 50	Lt 7
130	Ø10 10	Ø10 10	Ø10 15	Ø10 15	Ø10 15	Ø10 30	Ø10 35	Ø10 55	Ø10 50	Ø10 100	Lt 7
148	Ø10 30	Ø10 30	Ø10 45	Ø10 30	Ø10 50	Ø10 50	Ø10 50	Ø10 40	Ø10 50	Ø10 30	Lt 8
151	Ø10 10	Ø10 10	Ø10 15	Ø10 15	Ø10 15	Ø10 30	Ø10 35	Ø10 55	Ø10 100	Ø10 100	Lt 8
169	Ø10 30	Ø10 30	Ø10 45	Ø10 50	Ø10 50	Ø10 75	Ø10 50	Ø10 35	Ø10 35	Ø10 35	Lt 9
172	Ø10 15	Ø10 15	Ø10 20	Ø10 20	Ø10 20	Ø10 40	Ø10 50	Ø10 35	Ø10 100	Ø10 100	Lt 9
190	Ø10 15	Ø10 20	Ø10 35	Ø10 25	Ø10 35	Ø10 100	Ø10 50	Ø10 55	Ø10 50	Ø10 50	Lt 10
193	Ø10 10	Ø10 15	Ø10 20	Ø10 20	Ø10 20	Ø10 40	Ø10 50	Ø10 55	Ø10 100	Ø10 100	Lt 10

Tabel 6.9 Tulangan geser koiom portal as B-I s/d B-IV

Klm	Daerah Io					Di luar daerah Io					Ket
	Zona 1	Zona 2	Zona 3	Zona 4	Zona 5	Zona 1	Zona 2	Zona 3	Zona 4	Zona 5	
8	Ø12 5	Ø12 10	Ø12 10	Ø12 15	Ø12 20	Ø12 10	Ø12 15	Ø12 30	Ø12 50	Ø12 100	Lt 1
11	Ø12 5	Ø12 5	Ø12 10	Ø12 15	Ø12 15	Ø12 5	Ø12 10	Ø12 20	Ø12 50	Ø12 100	Lt 1
29	Ø12 5	Ø12 10	Ø12 15	Ø12 20	Ø12 25	Ø12 10	Ø12 25	Ø12 50	Ø12 100	Ø12 100	Lt 2
32	Ø12 5	Ø12 5	Ø12 10	Ø12 15	Ø12 15	Ø12 5	Ø12 10	Ø12 20	Ø12 45	Ø12 100	Lt 2
50	Ø12 10	Ø12 10	Ø12 15	Ø12 25	Ø12 25	Ø12 15	Ø12 35	Ø12 50	Ø12 100	Ø12 100	Lt 3
53	Ø12 5	Ø12 5	Ø12 10	Ø12 15	Ø12 15	Ø12 5	Ø12 10	Ø12 20	Ø12 45	Ø12 100	Lt 3
71	Ø12 10	Ø12 15	Ø12 15	Ø12 25	Ø12 30	Ø12 20	Ø12 50	Ø12 100	Ø12 100	Ø12 50	Lt 4
74	Ø12 5	Ø12 5	Ø12 10	Ø12 15	Ø12 20	Ø12 5	Ø12 15	Ø12 20	Ø12 50	Ø12 100	Lt 4
92	Ø12 10	Ø12 15	Ø12 15	Ø12 25	Ø12 30	Ø12 25	Ø12 60	Ø12 100	Ø12 100	Ø12 50	Lt 5
95	Ø12 5	Ø12 5	Ø12 10	Ø12 15	Ø12 20	Ø12 10	Ø12 15	Ø12 25	Ø12 50	Ø12 100	Lt 5
113	Ø12 10	Ø12 20	Ø12 20	Ø12 30	Ø12 35	Ø12 35	Ø12 100	Ø12 100	Ø12 50	Ø12 50	Lt 6
116	Ø12 5	Ø12 10	Ø12 10	Ø12 20	Ø12 25	Ø12 10	Ø12 20	Ø12 40	Ø12 100	Ø12 100	Lt 6
134	Ø12 10	Ø12 20	Ø12 20	Ø12 35	Ø12 35	Ø12 60	Ø12 100	Ø12 100	Ø12 50	Ø12 45	Lt 7
137	Ø12 5	Ø12 10	Ø12 15	Ø12 20	Ø12 30	Ø12 15	Ø12 30	Ø12 50	Ø12 100	Ø12 70	Lt 7
155	Ø12 20	Ø12 30	Ø12 30	Ø12 50	Ø12 50	Ø12 100	Ø12 95	Ø12 50	Ø12 40	Ø12 35	Lt 8
158	Ø12 10	Ø12 15	Ø12 20	Ø12 30	Ø12 35	Ø12 25	Ø12 50	Ø12 50	Ø12 50	Ø12 50	Lt 8
176	Ø12 30	Ø12 30	Ø12 45	Ø12 45	Ø12 50	Ø12 75	Ø12 50	Ø12 40	Ø12 30	Ø12 30	Lt 9
177	Ø12 15	Ø12 15	Ø12 30	Ø12 45	Ø12 50	Ø12 100	Ø12 100	Ø12 50	Ø12 35	Ø12 35	Lt 9
200	Ø12 35	Ø12 55	Ø12 50	Ø12 100	Ø12 100	Ø12 50	Ø12 40	Ø12 30	Ø12 25	Ø12 25	Lt 10

Spasi tulangan geser kolom di daerah zona 1 lebih rapat dibandingkan zona lainnya. Hal ini dikarenakan gaya geser yang terjadi pada kolom di zona 1 paling besar dibandingkan zona lainnya sehingga untuk menahan gaya geser yang besar diperlukan spasi tulangan geser yang rapat.

Tabel 6.11 Jumlah lapis tulangan geser horizontal pertemuan balok kolom portal as B-I dan as B-IV

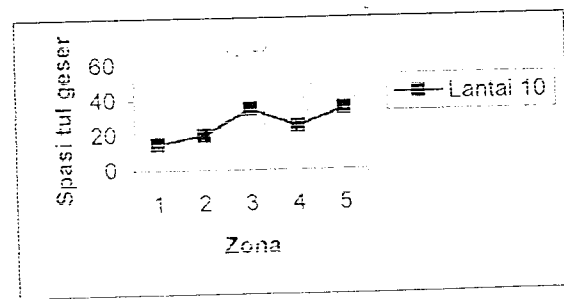
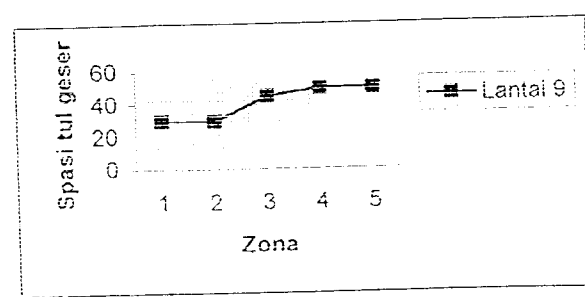
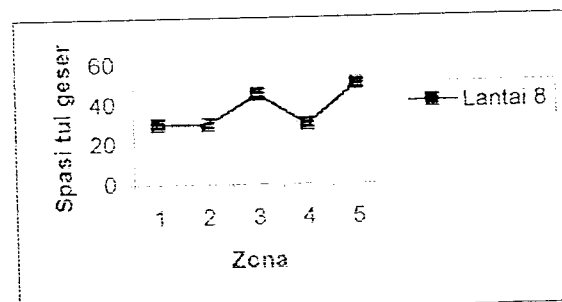
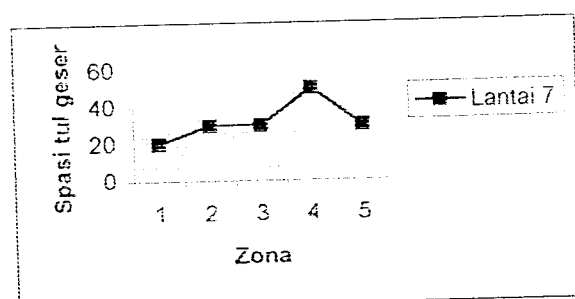
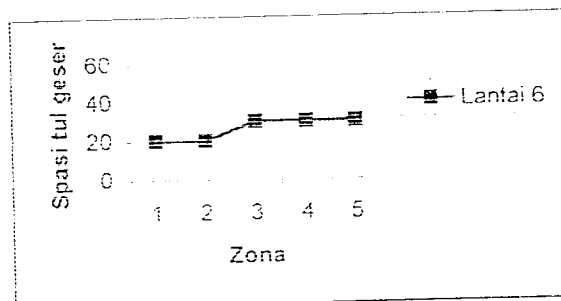
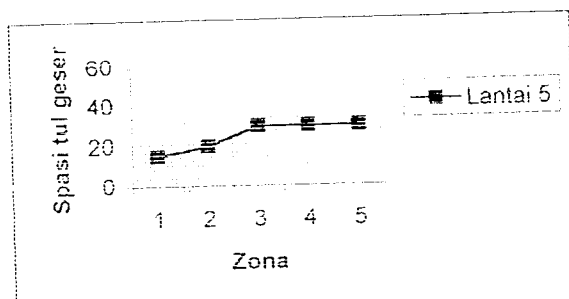
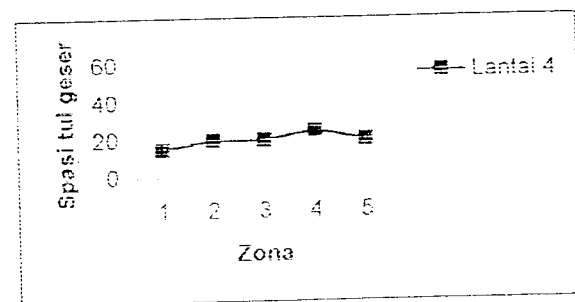
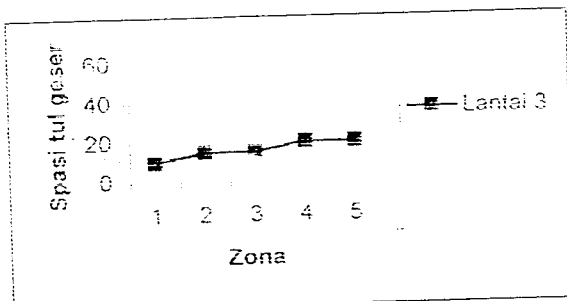
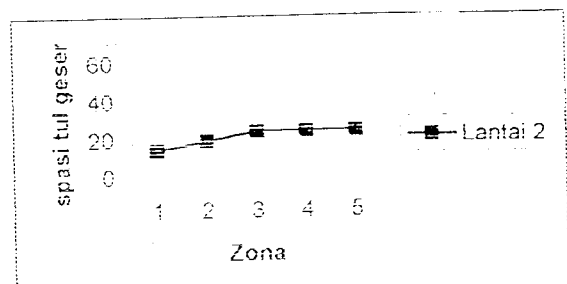
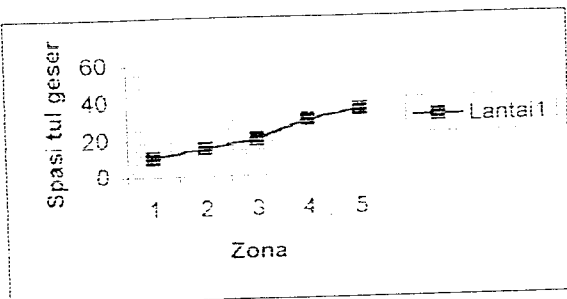
Ko-lom	Letak	Σ lapis tul geser horz dgn kombinasi momen balok					KET
		Zona 1	Zona 2	Zona 3	Zona 4	Zona 5	
14	Tepi	4	3	4	4	1	kolom lt 1
	Tengah	1	4	2	2	2	kolom lt 1
22	Tepi	4	4	4	4	4	kolom lt 2
	Tengah	1	5	2	2	2	kolom lt 2
43	Tepi	5	4	5	5	5	kolom lt 3
	Tengah	2	5	3	3	3	kolom lt 3
64	Tepi	5	5	5	5	5	kolom lt 4
	Tengah	1	6	3	3	3	kolom lt 4
85	Tepi	6	5	6	6	6	kolom lt 5
	Tengah	2	6	4	4	4	kolom lt 5
106	Tepi	6	5	6	6	6	kolom lt 6
	Tengah	2	7	4	4	4	kolom lt 6
127	Tepi	7	6	7	7	7	kolom lt 7
	Tengah	3	8	5	5	5	kolom lt 7
148	Tepi	8	7	8	8	8	kolom lt 8
	Tengah	4	10	5	5	6	kolom lt 8
169	Tepi	6	6	6	6	7	kolom lt 9
	Tengah	4	8	8	8	8	kolom lt 9
190	Tepi	5	5	5	5	5	kolom lt 10
	Tengah	3	8	5	5	5	kolom lt 10

6.1.6 Momen Kapasitas Balok Dan Momen Nominal Kolom

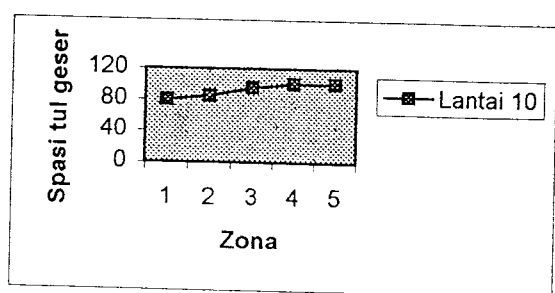
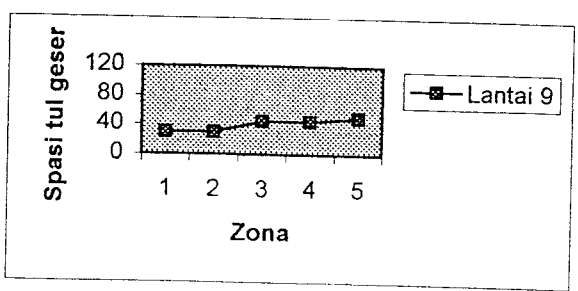
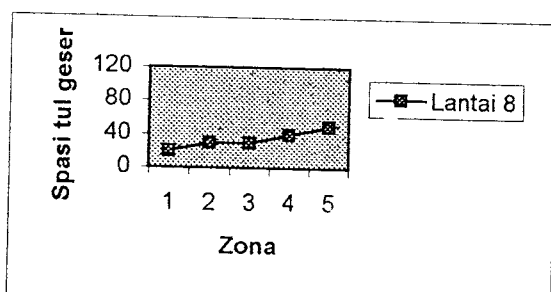
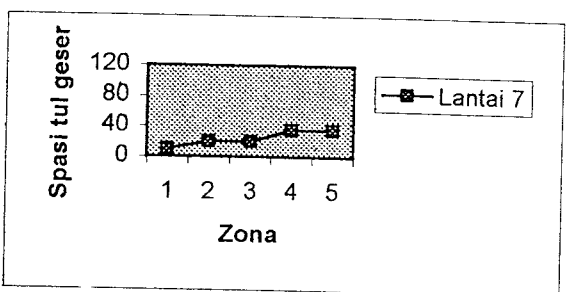
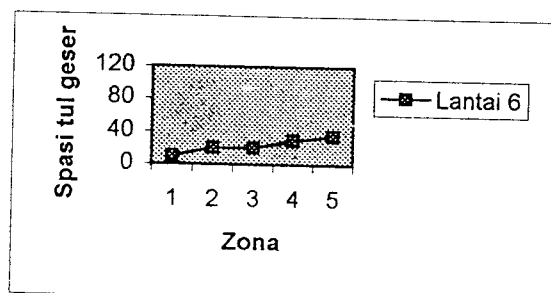
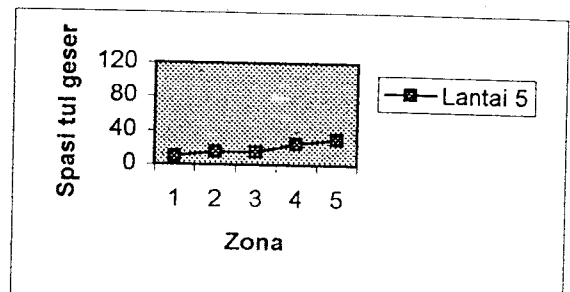
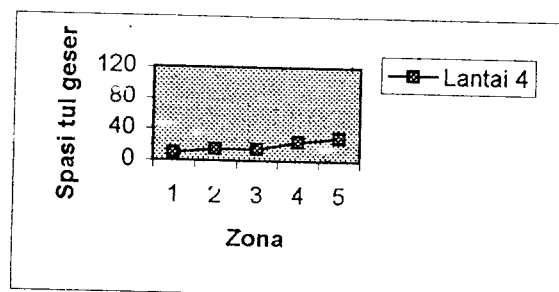
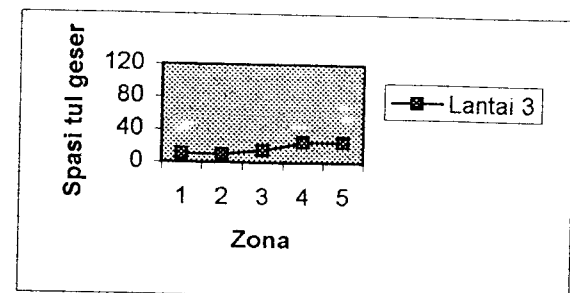
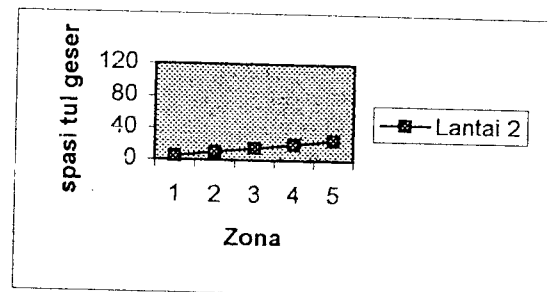
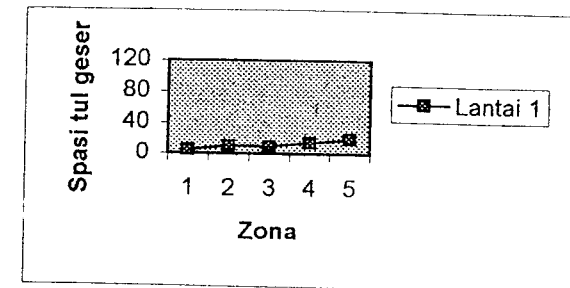
Sesuai dengan konsep *strong column weak beam* dengan *beam sway mechanism* yang diinginkan adalah pada balok, maka tentunya kekuatan kolom harus lebih besar dibandingkan balok untuk menjamin terbentuknya mekanisme goyang pada balok tersebut. SKSNI T-15-1991-03 mensyaratkan dalam perhitungan momen ultimit kolom dengan mendasarkan pada momen kapasitas kolom, dengan demikian momen ultimit kolom dan momen kapasitas balok akan berbanding lurus.

Tabel 6.12 Momen kapasitas balok dan momen nominal kolom as A-I dan as A-IV

Lt	Zona 1		Zona 2		Zona 3		Zona 4		Zona 5		KET
	M _{kap,b}	M _{nk}									
1	620.9	2231.3	540.6	800.53	327.66	635.06	457	469.59	372	386.9	Tepi Tengah
	620.9	1049.2	540.6	824.97	327.66	648.25	457	600.78	372	544.73	
2	697.6	1299.8	540.6	1086	457	972.51	457	972.51	457	972.5	Tepi Tengah
	697.6	2213.3	540.6	1719.8	457	1577.9	457	1577.9	540.6	1719.8	
3	769.9	1484.6	540.6	1152.9	540.6	1152.9	457	1032.5	457	1032.5	Tepi Tengah
	697.6	1633.8	540.6	1262	540.6	1262	540.6	1259.6	457	1159	
4	697.6	885.05	540.6	739.45	540.6	739.45	457	662.19	457	662.19	Tepi Tengah
	697.6	1249.6	540.6	965.22	457	886.5	457	886.5	457	886.5	
5	697.6	1206.1	540.6	641.63	457	574.58	457	574.58	457	574.58	Tepi Tengah
	697.6	1621.2	540.6	895.1	457	822.1	372	747.17	457	822.1	
6	620.9	1365.5	540.6	744.81	457	666.83	372	666.83	457	666.83	Tepi Tengah
	620.9	1756.9	540.6	987.26	457	906.74	457	906.74	457	906.74	
7	620.9	1439.3	540.6	785.05	457	702.86	457	463.45	457	702.86	Tepi Tengah
	620.9	1976.2	540.6	1110.5	457	1019.9	457	1019.9	372	926.98	
8	620.9	1219.9	540.6	665.39	457	595.72	372	524.22	372	524.22	Tepi Tengah
	620.9	2292.8	540.6	1284.2	457	1179.5	372	1072	372	1072	
9	620.9	1039.3	540.6	566.85	372	446.58	372	446.58	372	446.58	Tepi Tengah
	620.9	2994	540.6	1312.7	372	1095.8	372	1095.8	372	1095.8	
10	620.9	1010.7	540.6	814.65	372	716.63	372	618.6	372	569.59	Tepi
10	620.9	1816.9	540.6	573.98	372	446.43	372	971.34	372	865.64	Tengah



Gambar 6.4 Perbandingan spasi tulangan geser (mm) semua zona untuk tiap-tiap lantai (as A)



Gambar 6.5 Perbandingan spasi tulang geser (mm) semua zona untuk tiap-tiap lantai (as B)